

УДК 538.245:548.73

ТЕХНИЧЕСКАЯ ФИЗИКА

Член-корреспондент АН СССР Я. С. ШУР, В. С. БОЙДЕНКО,
Г. С. КАНДАУРОВА, Л. М. МАГАТ

**О МЕХАНИЗМЕ ПРОЦЕССОВ ПЕРЕМАГНИЧИВАНИЯ
ВЫСОКОКОЭРЦИТИВНЫХ ПОРОШКОВ СПЛАВОВ СИСТЕМЫ
ЖЕЛЕЗО — ПАЛЛАДИЙ**

В системе сплавов Fe — Pd при составе вблизи эквивалентного и температурах ниже 620° С равновесна упорядоченная по типу CuAu гранецентрированная тетрагональная γ_1 -фаза (¹), обладающая высокой намагниченностью насыщения $I_s \approx 1100$ Гс и большой константой естественной магнитной энергии $(BH)_{max} = 40 \cdot 10^6$ Гс·э.

Таблица 1

| Способ получения | Термообработка | Средний размер порошка d , μ | $\frac{\sigma_r}{\sigma_S}$ | H_c , э |
|---|----------------------------|------------------------------------|-----------------------------|-----------|
| Механическое дробление | Отпуск при 500° С, 25 час. | 300 | ~0,35 | 1050 |
| То же | То же | 10 | ~0,50 | 2000 |
| Диффузионное насыщение при 700° С, 2 часа | Отпуск при 550° С, 20 час. | 10 | ~0,15 | 550 |
| Диффузионное насыщение при 500° С, 45 час. | Нет | 0,05 ± 0,5 | ~0,45 | 1800 |
| Восстановление водородом при 560° С, 4 часа | Нет | 0,01 ± 0,1 | ~0,55 | 3600 |

нитокристаллической анизотропии $K \approx 2 \cdot 10^7$ эрг/см³ (², ³). Это позволяет отнести упорядоченный сплав FePd к числу перспективных материалов для постоянных магнитов, так как теоретические пределы основных гистерезисных характеристик сплава очень высоки и составляют: максимальная магнитная энергия $(BH)_{max} = (4\pi I_s / 2)^2 \approx 40 \cdot 10^6$ Гс·э, коэрцитивная сила по намагниченности $H_c \approx 2K / I_s \approx 40$ кэ. Однако достигнутая на сплаве FePd величина H_c не превышает 4000 э (⁴⁻⁶) и величина $(BH)_{max}$ также незначительна. Наибольшая $(BH)_{max} = 3,8 \cdot 10^6$ Гс·э (⁷) получена в системе сплавов Fe — Pb при составе $Fe_{0,7}Pb_{0,3}$, когда гетерогенный сплав содержит кроме γ_1 -фазы еще и α -фазу — практически чистое железо, у которого $I_s \approx 1700$ Гс, $K \approx 5 \cdot 10^6$ эрг/см³.

Механизм процессов перемагничивания высококоэрцитивных порошков сплавов системы Fe — Pd не исследован, также не изучено влияние магнитно-мягкой α -фазы на их гистерезисные магнитные свойства. Этим вопросам и посвящена данная работа.

Как известно, величина H_c возрастает с уменьшением размера ферромагнетика и достигает наивысших значений в однодоменных частицах (⁸). Согласно (⁹⁻¹¹) можно оценить критический размер однодоменности d_K , начиная с которого разбиение кристалла на ферромагнитные домены в отсутствие поля энергетически не выгодно. Для γ_1 -фазы исследованных сплавов d_K составляет $\sim 0,2$ μ .

В данной работе изучались тонкие порошки сплавов FePd и $Fe_{0,7}Pd_{0,3}$ с γ_1 -фазой различной дисперсности. Порошки упорядоченного сплава FePd размером 0,01—10 μ были изготовлены методом диффузионного насыщения и восстановления водородом смеси солей $FeSO_4$ и $PdCl_2 \cdot 2NaCl$, обра-

ботанной щелочью. Более крупные порошки сплавов FePd и $\text{Fe}_{0.7}\text{Pd}_{0.3}$ размером от 10 до 400 μ получены дроблением слитков и состояли соответственно из неупорядоченной γ - и смеси ($\gamma + \alpha$)-фаз. Для превращения $\gamma \rightarrow \gamma_1$ эти порошки отпускались в интервале температур 400—570° С.

Магнитные свойства некоторых порошков упорядоченного сплава FePd, состоящего из γ_1 -фазы, представлены в табл. 1. Из табл. 1 видно, что гистерезисные свойства порошков заметно изменяются с размером частиц d , а при одинаковом размере (например, $d = 10 \mu$) зависят от кристаллической структуры частиц. В частности, у сплава FePd наблюдается влияние предварительной пластической деформации на степень дальнего порядка, достигаемую после одинаковых отпусков, и соответственно на величину K ⁽³⁾, которая возрастает с увеличением степени порядка. В порошках FePd, полученных без деформации, отношение параметров решетки c/a γ_1 -фазы больше (а величина K соответственно меньше), чем в порошках, полученных дроблением. Среди последних наименьшее c/a у самого мелкого порошка с $d = 10 \mu$. Отметим, что величина H_c порошков при любом механизме перемагничивания пропорциональна константе анизотропии⁽⁶⁾.

Судя по величине H_c , кристаллическая структура исследуемых порошков не является идеальной. При отсутствии дефектов кристаллической решетки H_c должна быть равна теоретическому пределу⁽⁹⁾.

Все исследуемые порошки не текстурировались в магнитном поле. Это означает, что частицы порошков были поликристаллическими, т. е. не односными в магнитном отношении. Для хаотического ансамбля магнитноодносных однодоменных невзаимодействующих частиц величина $\sigma_r / \sigma_s = 0,5$ ⁽⁸⁾, а для многодоменных $\sigma_r / \sigma_s < 0,5$ (σ_r — удельная остаточная намагниченность, σ_s — удельная намагниченность насыщения, полученная путем экстраполяции на бесконечно большое поле). Как видно из табл. 1, у порошка сплава FePd, полученного дроблением, уже при $d = 10 \mu$, т. е. при размере, значительно большем d_k , величина $\sigma_r / \sigma_s = 0,5$. Отсюда можно предполагать, что размер отдельных зерен γ_1 -фазы порядка d_k .

Из совокупности магнитных свойств исследуемых порошков упорядоченного сплава FePd можно сделать следующие заключения о характере процессов перемагничивания. При размере зерен больше d_k они многодомены в состоянии остаточной намагниченности и перемагничиваются путем смещения ферромагнитных доменных границ. Величина их H_c связана с задержкой смещения границ на дефектах кристаллической структуры, поскольку порошок имеет $\sigma_r / \sigma_s < 0,5$. При размере зерен порядка и меньше d_k они обладают так называемой переходной доменной структурой⁽¹²⁾, т. е. в остаточно намагниченном состоянии однодомены; поликристаллический порошок имеет $\sigma_r / \sigma_s = 0,6$. Величина H_c в этом случае связана с задержкой возникновения и роста зародышей перемагничивания и определяется степенью дефектности кристаллической решетки порошков, а при d/d_k еще и зависимостью самого критического размера d_k от поля⁽¹³⁾.

В процессе упорядочения изменение размера зерен γ_1 -фазы от суперparamагнитных ($\sim 10^{-7}$ см) до многодоменных ($\sim 10^{-4}$ см) могло происходить и при неизменных размерах частиц порошков, полученных механиче-

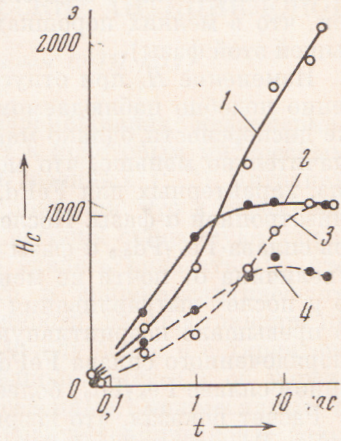


Рис. 1. Зависимость коэрцитивной силы порошков сплавов FePd (1, 2) и $\text{Fe}_{0.7}\text{Pd}_{0.3}$ (3, 4), полученных механическим дроблением, от времени отпуска t при температуре 500° С при различных размерах частиц порошков: 1 — 10 μ , 2 — 300 μ , 3 — 15 μ

ским дроблением. Однако при этом менялось в сплаве количество и дисперсность неупорядоченной γ -фазы, имеющей на три порядка меньшую K_1 и почти такую же величину I_s как у γ_1 -фазы (^{2, 3}). Из сопоставления зависимости H_c от температуры отпуска (рис. 1) с данными рентгеноструктурного анализа следует, что наличие в порошках FePd низкоанизотропной γ -фазы уменьшает H_c по сравнению с порошком из одной γ_1 -фазы. Также видно (кривые 1 и 2), что H_c мелкого порошка растет при упорядочении относительно медленнее, чем H_c крупного. Это, вероятно, связано с тем, что в мелких порошках меньше размер зерен γ_1 -фазы (больше зародышей этой фазы).

Изменение H_c при отпуске порошков сплава $Fe_{0.7}Pd_{0.3}$ (рис. 1) качественно подобно наблюдаемому у порошков эквиатомного сплава FePd той же дисперсности, однако максимальные величины H_c у порошков $Fe_{0.7}Pd_{0.3}$ значительно меньше, что можно отнести за счет наличия в сплаве кроме фаз, характерных для FePd, практически неизменного количества низкоанизотропной α -фазы. После полного удаления путем травления из порошков сплава $Fe_{0.7}Pd_{0.3}$ α -фазы коэрцитивная сила увеличивалась в 2—3 раза, а величина σ_r почти не менялась. В случае порошка $Fe_{0.7}Pd_{0.3}$ размером 15 μ после вытравливания α -фазы H_c составляла 3000 э, что значительно превышало коэрцитивную силу 10-микронного порошка эквиатомного упорядоченного сплава FePd (см. табл. 1). По-видимому, γ_1 -фаза в гетерогенном сплаве $Fe_{0.7}Pd_{0.3}$ более дисперсна.

Расчет показал, что коэрцитивная сила исследованных порошков сплава $Fe_{0.7}Pd_{0.3}$ с γ_1 - и α -фазами может быть вычислена как H_c механической смеси невзаимодействующих магнитножесткой (γ_1) и магнитномягкой (α) фаз (¹⁴), однако для величины остаточной намагниченности существенно подмагничивание мягкой фазы жесткой. Существование аналогичных закономерностей можно ожидать и в других подобных гетерогенных сплавах, например в упорядочивающихся по типу CuAu сплавах FePd, CoPt, FePt с упорядоченной и неупорядоченной фазами.

Институт физики металлов
Уральского научного центра
Академии наук СССР

Поступило
24 V 1971

Уральский государственный университет
им. А. М. Горького
Свердловск

ЦИТИРОВАННАЯ ЛИТЕРАТУРА

- ¹ E. Raub, H. Beeskow, O. Loebich, Zs. Metallkunde, **54**, 549 (1963).
- ² A. Kussmann, K. Müller, Zs. angew. Phys., **17**, 509 (1964). ³ Л. М. Магат, А. С. Ермоленко и др., Физ. мет. и металловед., **26**, 511 (1968). ⁴ W. A. Velge, K. J. Vos, Zs. angew. Phys., **21**, 2 (1966). ⁵ A. Jga, Y. Tawaga et al., Japan. J. Appl. Phys., **8**, 1057 (1969). ⁶ Я. С. Шур, В. С. Бойденко и др., Укр. физ. журн., **14**, № 10, 1663 (1969). ⁷ Л. М. Магат, Г. М. Макарова, Я. С. Шур, Физ. мет. и металловед., **25**, 431 (1968). ⁸ Э. Вольфарт, Магнитно-твердые материалы, М.—Л., 1963. ⁹ С. В. Вонсовский, Я. С. Шур, Ферромагнетизм, М.—Л., 1948. ¹⁰ Л. Ландау, Е. Лифшиц, Phys. Zs. U.S.S.R., **8**, 153 (1935). ¹¹ C. Kittel, Rev. Mod. Phys., **21**, 541 (1949). ¹² Я. С. Шур, Е. В. Штольц и др., Физ. мет. и металловед., **5**, 234 (1957). ¹³ D. J. Craik, D. A. McIntyre, Proc. Roy. Soc. A, **302**, 99 (1967). ¹⁴ E. F. Kneller, F. E. Luborsky, J. Appl. Phys., **34**, 656 (1963).